



2024 统计信号处理实验大作业

中国科学院大学

电子电气与通信工程学院

姓名：李厚华

学号：202418019427056

1. 实验背景

随着智能家居和安防技术的发展,毫米波雷达因其高精度、高分辨率和隐私保护等优点,广泛应用于人体检测与行为识别。毫米波雷达能够在复杂环境中准确捕捉人体的运动信息,特别适用于监测无人存在、自由运动以及特定动作(如坐下摔倒等)的场景。本实验旨在通过处理 TI IWR6843 毫米波雷达采集的数据,完成对目标的检测、轨迹提取及速度估算,为智能监控和安全预警系统提供数据支持。

2. 理论背景

2.1. 数据预处理

1. 数据读取:

通过 MATLAB 实现,主要功能是从 JSONL 文件中逐行读取数据,并解析每一帧的数据,将所有数据均以 cell 形式保存,确保每一帧的数据点可以独立存储和处理。存储数据如下:

- frames 是一个 cell 数组,存储每一帧的帧号。
- point_clouds 是一个 cell 数组,存储每一帧的点云数据,每个元素是一个 $n \times 3$ 的矩阵。
- targets 是一个 cell 数组,存储每一帧的目标坐标,每个元素是一个 1×3 的向量。

2. 数据清洗:

- 基于 targets 的全局坐标范围,寻找真值的最大值与最小值,然后向上和向下取整划定数据的正常范围,确保过滤后的点云数据与目标数据在空间上保持一致,通过过滤不符合范围的点云数据,去除噪声和异常值,提高数据质量。
- 同时保持输出数据的维度与输入一致,使得相应帧数据的时间相对关系不变,便于后续

的数据处理和分析，比如计算速度和中心点云。

2.2. 信号点与噪声点的区分

在本实验中,信号点与噪声点的区分通过两个步骤实现:首先使用阈值筛选有效帧数据,然后基于密度的去噪算法去除点云中的噪声数据。以下是该部分的理论总结:

1. 阈值筛选有效帧数据:

通过设置最小点数阈值 (threshold) , 本实验设置的默认数值是 10, 过滤掉点数过少的帧数据, 确保后续处理的点云数据具有足够的密度和信息量

实现: 遍历每一帧点云数据, 检查当前帧的点数是否大于等于 threshold。如果点数少于 threshold, 则将该帧数据标记为空 ([]) , 跳过后续处理。如果点数满足要求, 则继续基于密度的去噪处理。

2. 基于密度的去噪算法

通过计算每个点的邻域密度, 区分信号点和噪声点。信号点通常位于高密度区域, 而噪声点则位于低密度区域^[1,2]。

实现: 以每个点为中心, 半径为 radius 的球形邻域确定为该点的邻域范围, 因为本实验是对人体点云数据的筛选, 所以设置的半径为 0.5m。然后统计每个点邻域内的点数 (不包括自身) , 如果某个点的邻域点数小于 min_neighbors, 则判定为噪声点, 如果邻域点数大于等于 min_neighbors 的点, 作为有效信号点。

2.3. 目标的三维运动轨迹提取

从过滤后的点云数据中提取目标的真实位置, 并按照时间关系推断物体的运动轨迹。

实现: 通过计算每一帧及其前后各 n 帧 (共 2n+1 帧) 的非空点云数据的均值, 作为当前帧的平均位置, 从而生成平滑的轨迹数据。如果某帧的点云数据为空, 则跳过该帧并

仅计算剩余非空数据的均值。该方法能够有效减少噪声对轨迹提取的影响，同时保留目标的运动趋势，为目标跟踪和运动分析提供了可靠的基础。

2.4. 目标运动速度估算

目标速度的估计基于去除噪声后的点云数据提取的轨迹信息。首先，通过计算每个点云数据的平均位置计算速度变化量（存储在 `trajectory` 中）。随后，利用帧数据之间的相对时间关系计算时间间隔，最后计算目标的速度。

实现：通过遍历轨迹点，计算相邻非空点之间的位移，并结合给定的时间间隔（默认 $55\text{ms} \times \text{帧间隔}$ ）计算速度。对于缺失数据的帧，函数通过前后非空点的速度进行插值（本实验直接由平均速度代替），确保速度曲线的连续性。最终，输出每个轨迹点对应的速度值 `speeds`，单位为米/秒。

3. 结果分析与讨论

3.1. 信号与噪声点区分效果

基于 2.2 节的噪声剔除算法，我们实现了函数 `[filtered_point_clouds, noise_point_clouds] = filter_noise(point_clouds, threshold, radius, min_neighbors)`。该函数中，`point_clouds` 表示经过异常值剔除后的点云数据，`threshold` 为可用帧点云数量的阈值，`radius` 为邻域半径（本实验中设置为 0.5 米），通过欧氏距离与阈值进行比较，`min_neighbors` 为最小邻居数，用于判定某一点是否为有效信号点。

为验证算法的有效性，我们从三个点云数据中随机选取了 4 帧，其噪声滤除效果如下：

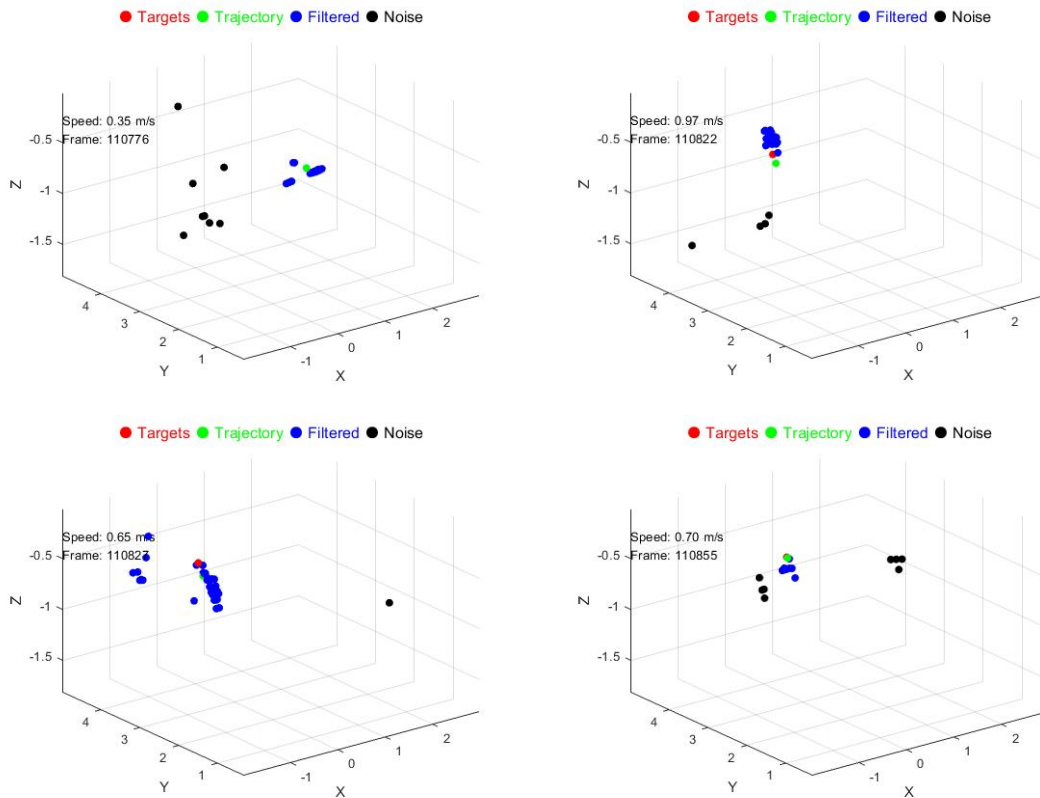


图 1 信号点与噪声点区分图

从结果图中可以清晰地观察到，经过过滤后的有效信号点分布较为集中，且与真值 (Targets) 的吻合度较高。偏离真值的点均被准确地判定为噪声点，这表明去噪算法在有效保留目标信息的同时，能够高效地去除噪声。这一结果验证了去噪算法在目标提取和噪声抑制方面的有效性，为后续的目标跟踪和运动分析提供了可靠的数据基础。

3.2. 运动轨迹的准确性

基于 2.3 节的运动轨迹提取算法，我们实现了函数 `trajectory = extract_trajectory(filtered_point_clouds)`。该函数中，`'filtered_point_clouds'` 为经过噪声剔除后的点云数据，`'trajectory'` 为提取的估计运动轨迹。我们对三个文件的点云数据进行了处理，提取了相应的运动轨迹，并将其与真实值 (Targets) 进行了对比，实验结果如下：

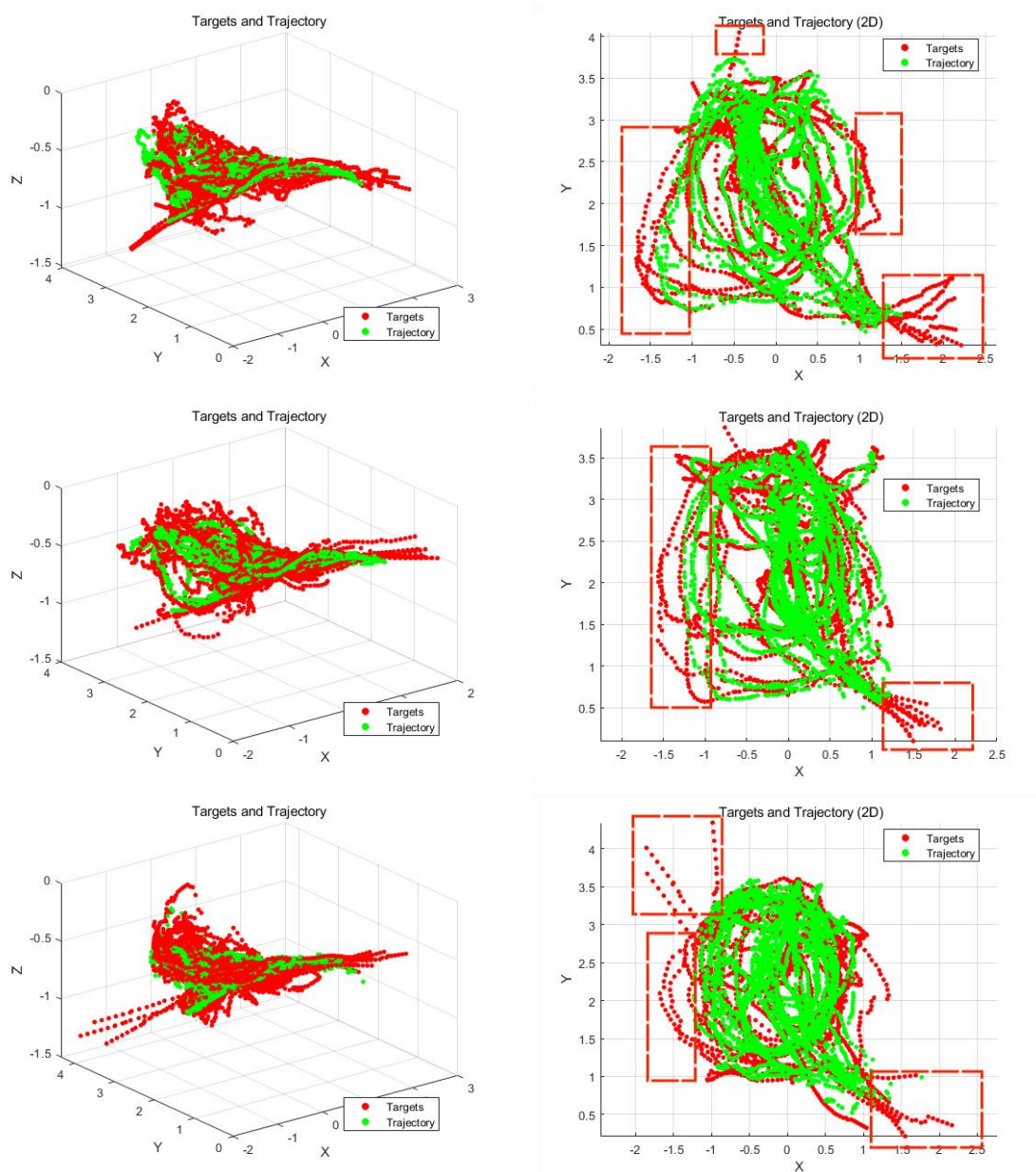


图 2 运动轨迹图

注:从上到下依次是 data_1c、data_2c 和 data_4z 数据的 Trajectory 与真值 Targets 三维与 xy 二维图像。

从实验结果中可以观察到，在中心区域，运动轨迹提取结果（Trajectory）与真值（Targets）的重合度较高，表明算法在该区域具有较好的性能。然而，在运动轨迹的边缘区域，实验结果与真值之间存在显著偏差，这一现象在图 2 右侧三个子图的标注位置尤为明显。分析其原因，可能包括以下两个方面：

1. 均值滤波的平滑效应：在边缘区域，均值滤波对数据产生了较强的平滑作用，导致

边缘细节信息丢失，从而影响了轨迹提取的精度。

2. 毫米波雷达采集范围限制：由于毫米波雷达的采集范围有限，边缘区域的点云数据可能采集不足，导致轨迹提取算法在边缘区域的性能下降。

这一分析为后续算法优化提供了重要依据，特别是在边缘区域的数据处理和改进采集技术方面。

为了量化分析运动轨迹的偏差，本实验实现了函数 `avg_distance = compute_avg_euclidean_distance(targets, trajectory)`，用于计算目标数据 `Targets` 与估计轨迹数据 `Trajectory` 之间的平均欧式距离偏差。该函数通过遍历两组数据，筛选出对应元素均非空的情况，计算每一对点的欧式距离，并最终求取平均值以量化轨迹偏差。实验结果如表 1 所示：

表 1 运动轨迹偏差

数据	data_1c	data_2c	data_4z
欧式距离偏差	0.1898	0.1685	0.2300
/m			

根据表格数据，可以得出以下结论：data_4z 数据的欧式距离偏差最大，data_1c 数据的欧式距离偏差次之，而 data_2c 数据的欧式距离偏差最小。这一现象在图像中得到了直观的验证，表明不同数据集在空间偏差上存在显著差异。

3.3. 速度估算的准确性

基于 2.4 节的目标运动速度计算方法，我们实现了函数 `[speeds] = estimate_speed(trajectory, time_interval)`。该函数中，`trajectory` 为 3.2 节中提取的估计运动轨迹，`time_interval` 为默认时间间隔，其值为 55 毫秒。该函数通过计算相邻轨迹点之间的位

移变化并结合时间间隔，估计目标的运动速度。

对三个文件的点云数据提取的运动轨迹分别估计运动速度，并与真值 Targets 估计的速度进行对比，得到的运行结果如下：

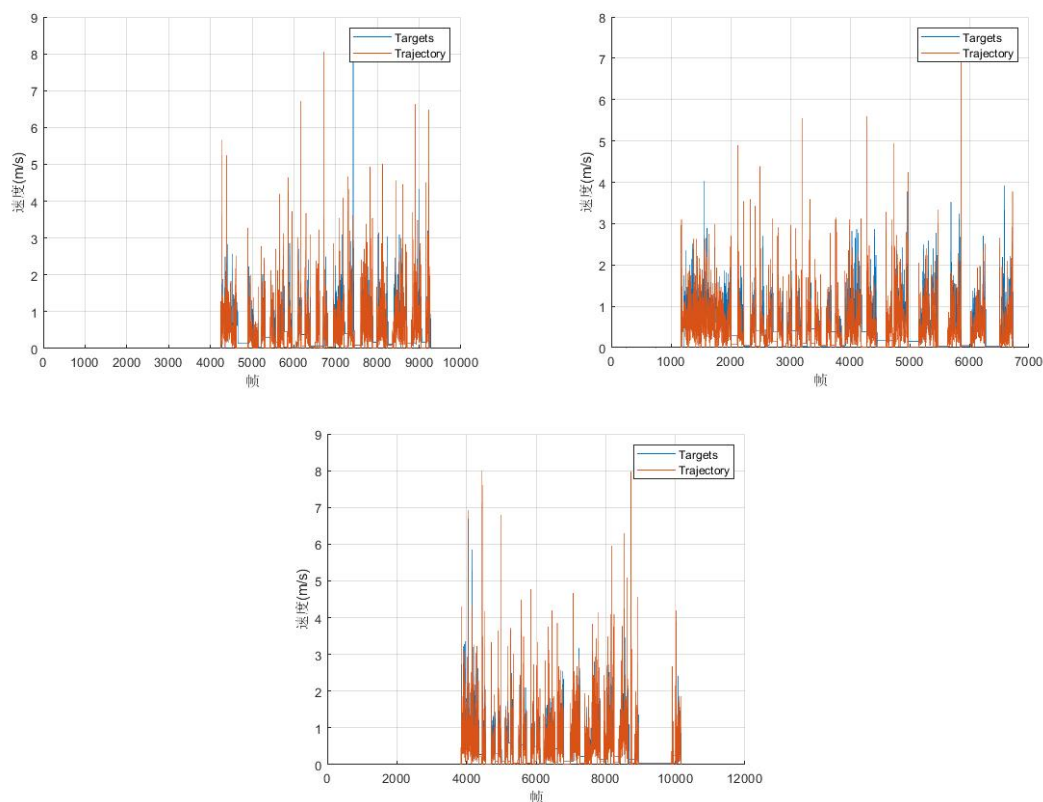


图 3 真实速度与估算速度

注：依次为 data_1c、data_2c 和 data_4z 数据的真实速度与估算速度

从实验结果可以观察到，估计速度与真实速度在数值范围上具有一致性：在真实速度为零的区域，估计速度同样趋近于零；而在真实速度非零的范围内，估计速度与真实速度的取值基本吻合。然而，估计速度曲线中出现了较多的尖峰现象，经分析，这可能是由于人体不同部位在运动过程中速度差异显著所致。

4. 实验中遇到的问题。

1. 滤除噪声点遇到的问题：

针对不同运动物体的噪声剔除，最小邻域半径（radius）的选择存在显著差异。在本实

验中，由于人体点云数据的复杂性，确定合适的 radius 值具有一定挑战性。最初，我们计划根据运动轨迹误差动态调整 radius，但这一方法显著增加了实验的复杂性和计算成本。经过综合考虑，最终将 radius 设定为 0.5 米，这一选择不仅符合人体的基本构造特征，也在实验中表现出了良好的噪声剔除效果。

2. 轨迹提取与速度估计遇到的问题：

在初始实验中，我们选择以当前帧点云数据的均值作为轨迹估计点。然而，在后续的速度估计中，发现估计速度存在较大的异常值，速度尖峰甚至达到真实速度的十几倍，这与实际运动规律明显不符。考虑到点云数据的采样间隔为 55 毫秒（约 20 帧/秒），且人体运动速度通常不会发生剧烈变化，我们优化了轨迹估计方法，采用前后各 9 帧（共 19 帧）点云数据的均值作为当前帧的轨迹估计点。这一改进显著降低了轨迹估计和速度估计的误差，使结果更加符合实际运动规律。

5. 代码文件

以下是本实验的主函数代码，子函数已在附件中提供。主函数集成了数据加载、噪声剔除、轨迹提取、速度估计以及结果可视化等功能，确保实验流程的完整性和可重复性。

主函数 main
<pre>% 2025 年 1 月 12 日 李厚华 空天信息创新研究院 lihouhua24@mail.ucas.ac.cn clear all; clc; close all; % 文件路径 file_path = 'D:\CODES_MATLAB\SSP\SSP_data\data_2c.jsonl'; % 读取数据 [frames, point_clouds, targets] = read_jsonl(file_path);</pre>

```

% 剔除异常值

cleaned_point_clouds = clean_data(point_clouds, targets);

% 通过临近点数量判断是否为噪声点

[filtered_point_clouds, noise_point_clouds] = filter_noise(cleaned_point_clouds);

% 提取运动轨迹

trajectory = extract_trajectory(filtered_point_clouds);

% 计算真实轨迹与估计轨迹的欧氏距离偏差

avg_distance = compute_avg_euclidean_distance(targets, trajectory);

disp(['平均欧氏距离偏差: ', num2str(avg_distance), ' 米']);

% 估计运动速度

speeds_trajectory = estimate_speed(trajectory);
speeds_targets = estimate_speed(targets);

% 画图参数设置

pause_time = 55 * 10(-3) * 1 / 20; % 显示速度相较于原始速度加快 20 倍 (55ms * 1/20)

% 绘制 3D 和 2D 轨迹图

plot_all_points(targets, trajectory); % 3D 轨迹图

plot_all_points_2d(targets, trajectory); % 2D 轨迹图

% 动态轨迹图

dynamic_point_cloud_display_fixed_axis(targets, trajectory, filtered_point_clouds, ...
    noise_point_clouds, speeds_trajectory, frames, pause_time);

% 绘制速度图

plot_speeds(speeds_targets, speeds_trajectory); % 速度对比图

```

6. 参考文献

- [1] 赵卓不凡. 一文看懂 DBSCAN 聚类算法[EB/OL](2024-06-30)[2025-01-12].
<https://blog.csdn.net/sgzqc/article/details/140078475>.
- [2] 佚名. 机器学习 聚类篇——DBSCAN 的参数选择及其应用于离群值检测
_dbscan 参数 -CSDN 博客 [EB/OL]([日期不详])[2025-01-12].
https://blog.csdn.net/Cyrus_May/article/details/113504879.